



Le tecniche di rivelazione di raggi cosmici di energia superiore a 10¹⁸ eV nell'esperimento Pierre Auger

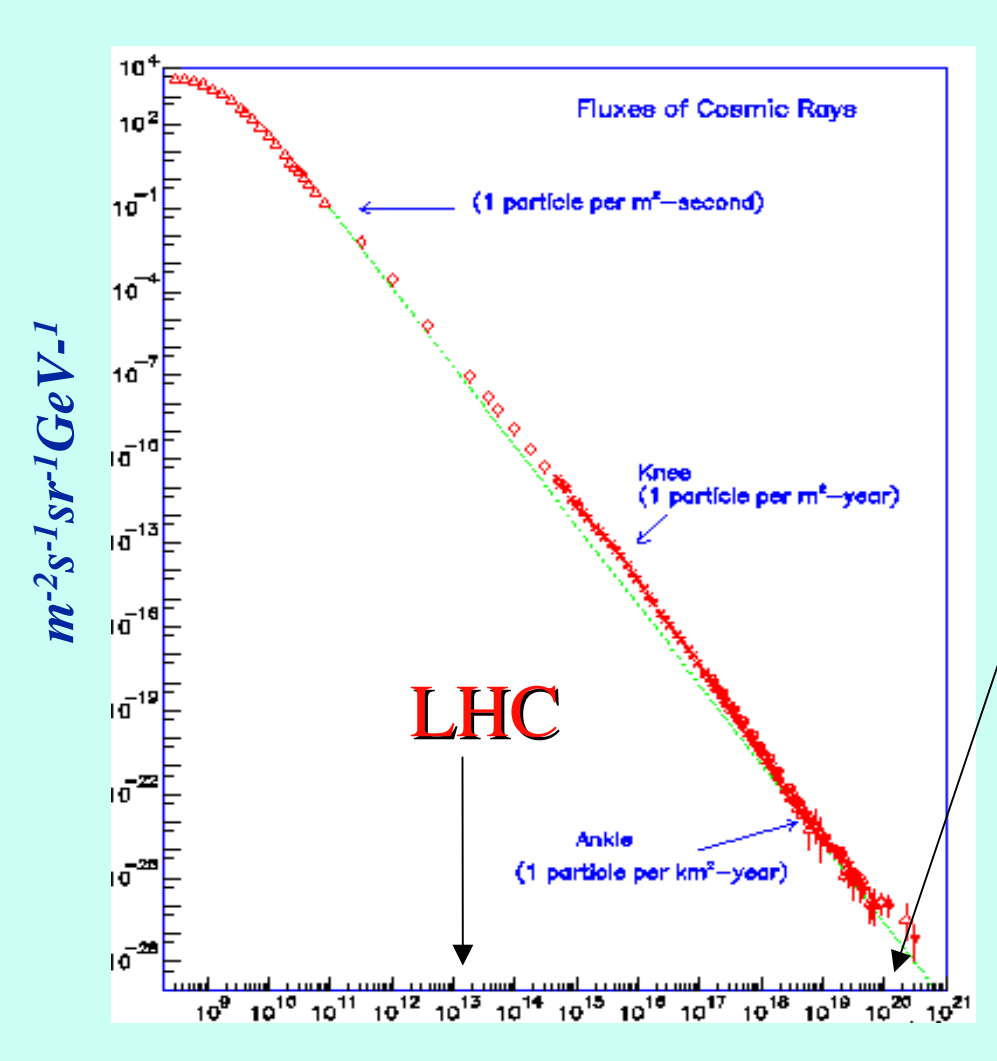
Daniel V. Camin
Dipartimento di Fisica dell'Universita' and INFN, Milano , Italy

- Introduzione
- Il Progetto Auger
- Il sito Sud.
- La fase prototipale
- Lo stato attuale
- Conclusioni



Introduzione





I flussi di UHECR:

 $-10^{19} \text{ eV: } \sim 1/\text{km}^2.\text{anno}$

-10²⁰ eV: ~ 1/km².secolo

Per un sito di 3000 km²:

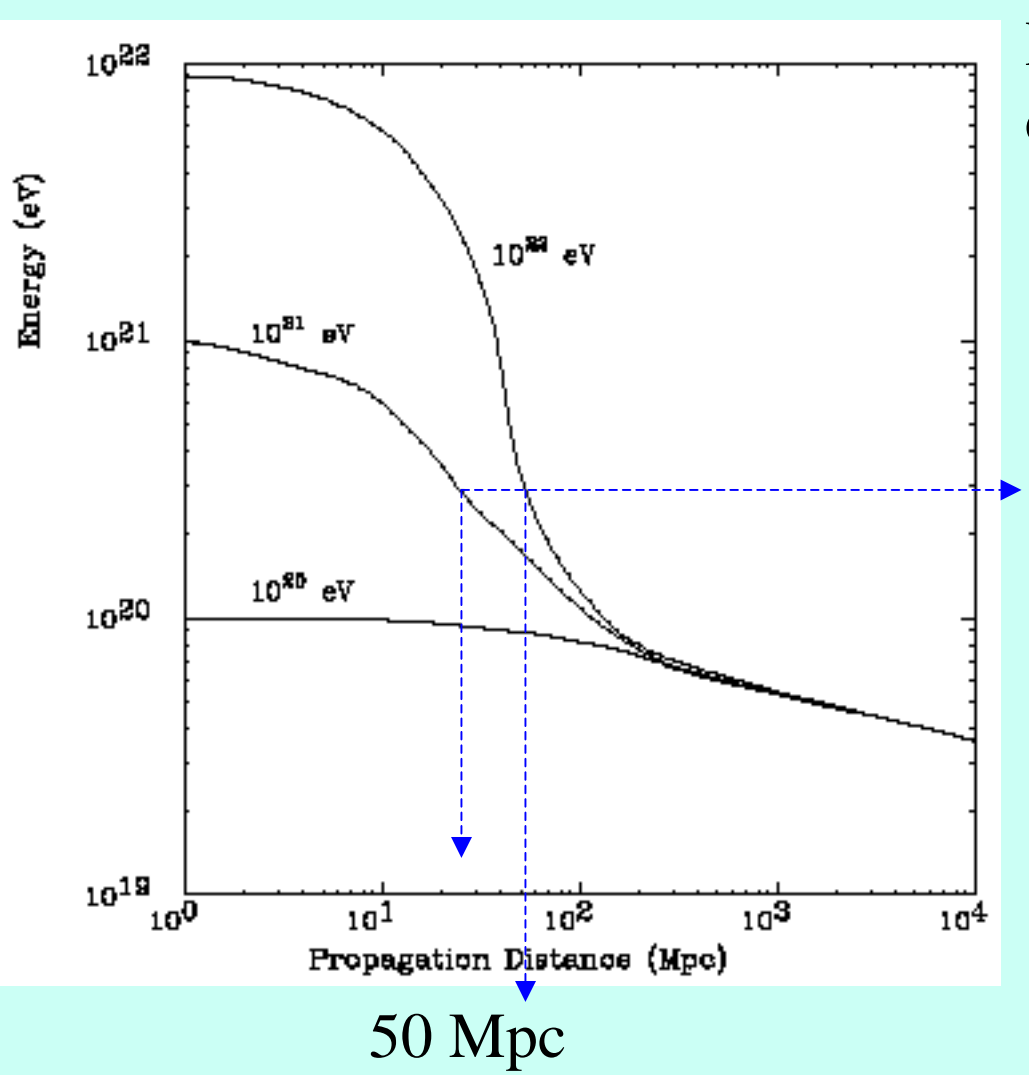
-10¹⁹ eV: 3000 eventi/anno

-10²⁰ eV: 30 eventi/anno



Il cut-off di Greisen, Zatsepin e Kuzmin (GZK)





Perdita di energia per interazione con la radiazione fossile di fondo

$$p+\gamma_{2.7K}---->p+\pi^{0}$$

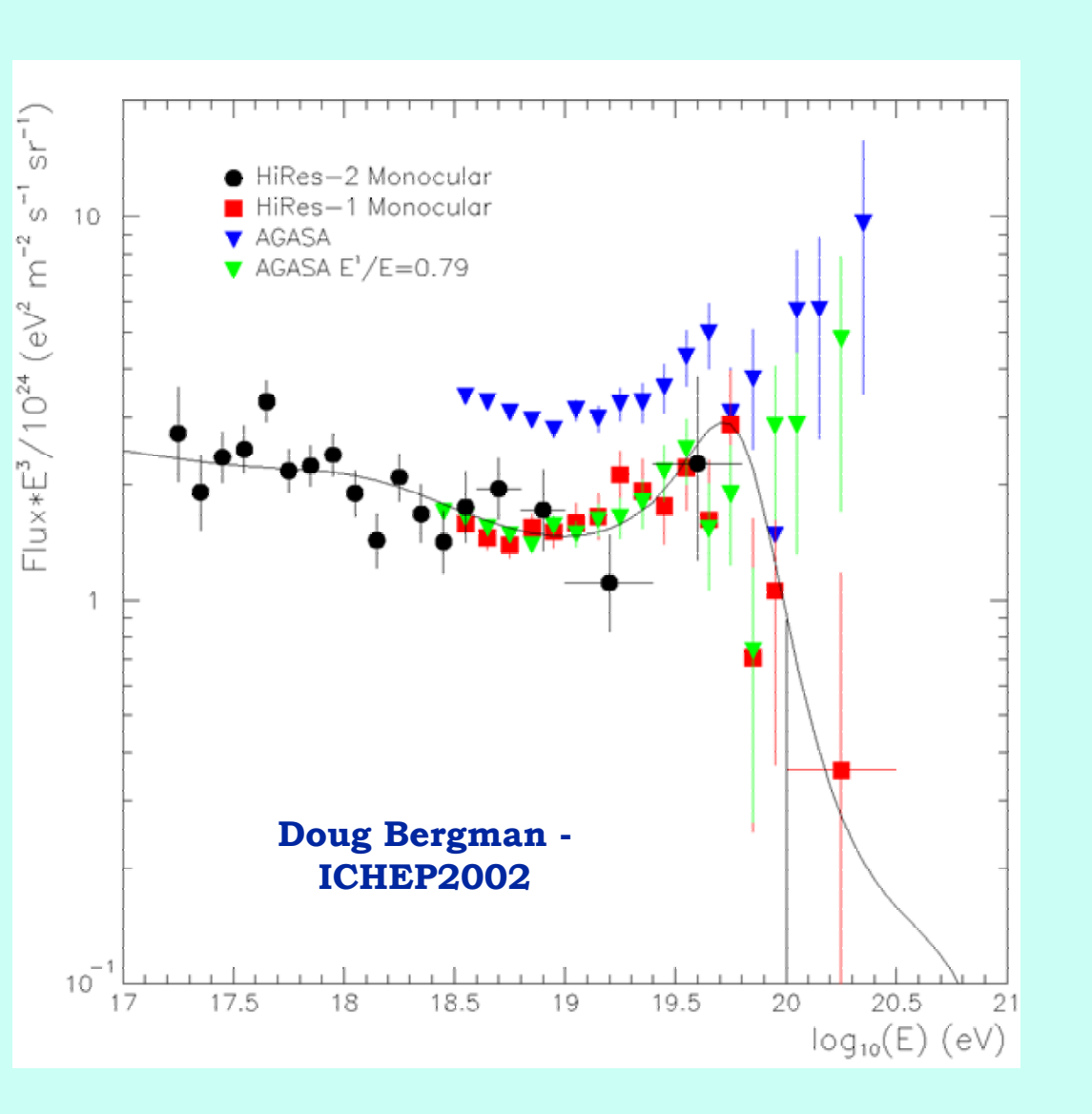
$$A+\gamma_{2.7K}---->(A-1)+n$$

3.10 ²⁰ eV (evento di Fly's Eye)



Spettro espanso dei raggi cosmici





L'evento di piu'
alta energia
registrato:
3.2 x 10²⁰ eV
Fly's Eye nello
Utah nel 1991

- Scarsa statistica
- Si richiede un sostanzia miglioramento.



Il Progetto Pierre Auger



Proposto da Jim Cronin e Alan Watson nel 1991

Obiettivo:

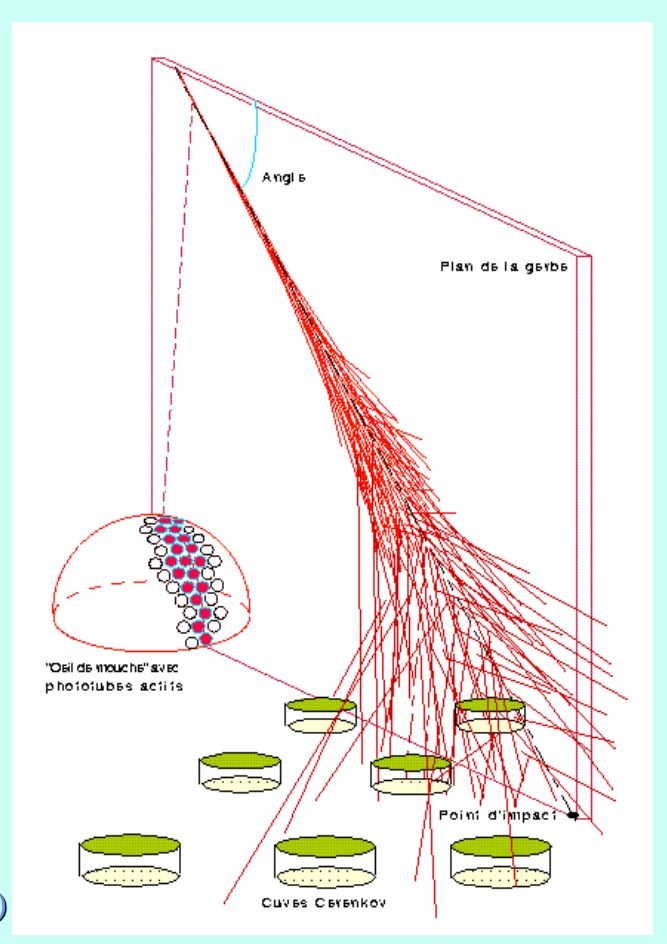
lo studio di:

- energia
- flusso
- direzione (punta verso la sorgente)
- composizione

di UHECR di $E > 10^{18}$ eV con piena efficienza oltre 10^{19} eV

Proposta:

- Copertura di tutto il cielo (sito Sud e sito Nord)
- grande apertura (3000 km² ogni sito)
- Rivelatore ibrido:
 - Rivelatore di Fluorescenza Atmosferica (FD)
 - Array di superficie: Taniche Cerenkov ad acqua (SD)

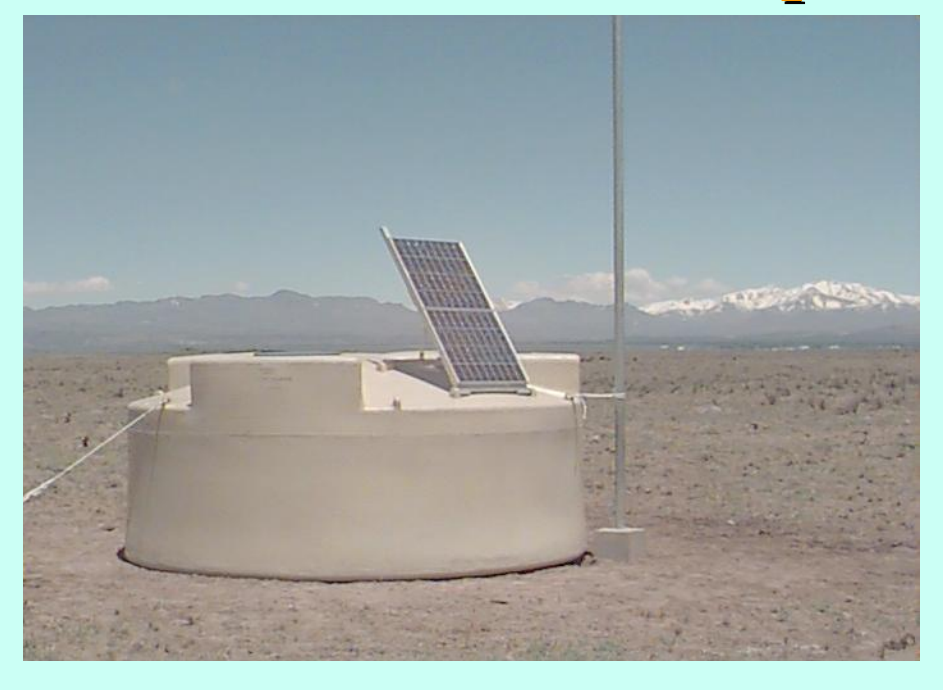


Ad oggi : piu di 300 ricercatori di 15 Paesi



Un modulo del Rivelatore di Superficie (SD)



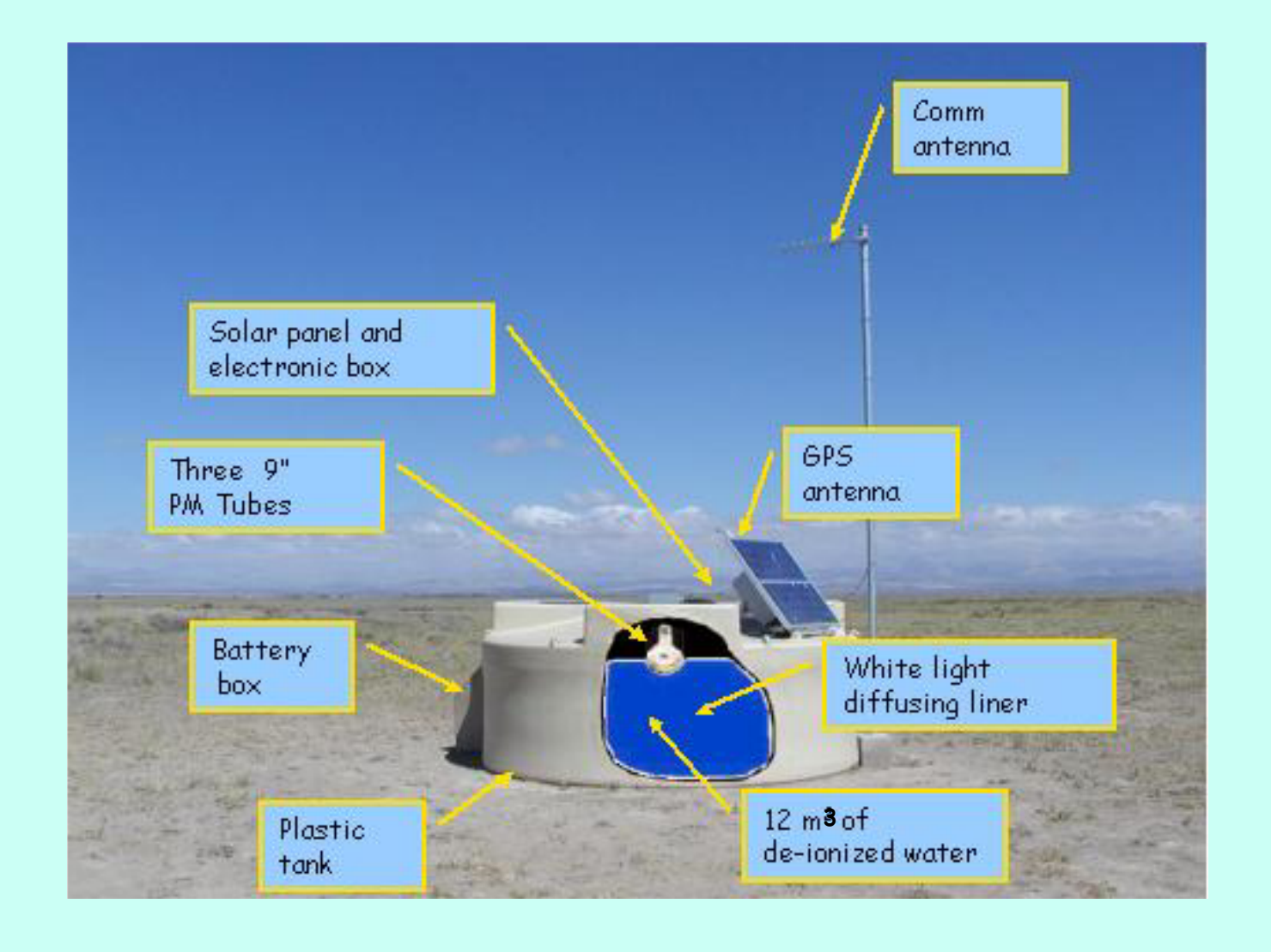


- SD: Array con 1600 taniche tipo Cherenkov ad acqua spaziati di 1.5 km 10 m², 1.2 m profondità, tre PMT Photonis XP1805 di 9".
- FADC di 40 MHz, 15 bit range dinamico (segnale all'anodo e stadio x 32 dal dinodo)
- Alimentazione per panelli solari
- Sistema di comunicazioni tipo telefonia cellulare
- Un GPS garantisce il timing con 8 ns di risoluzione.
- Disegnato per alta affidabilità durante i 20 anni di vita previsti per l'esperimento.





Alcuni particolari di un modulo SD





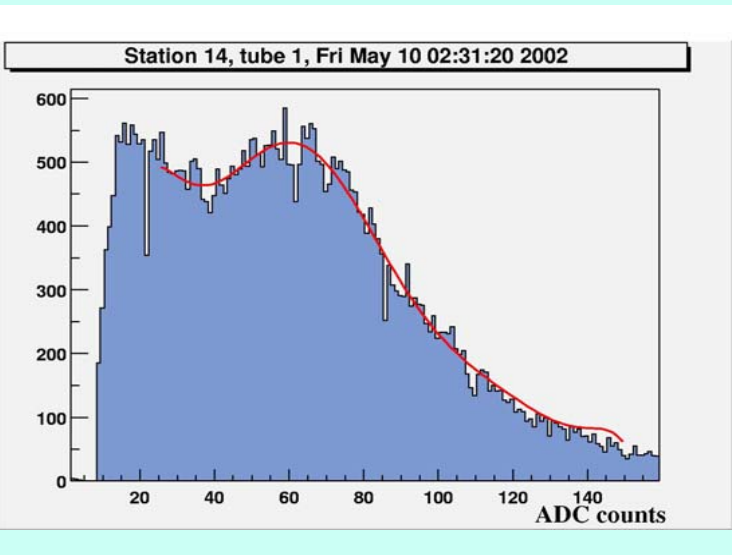
Calibrazione SD



- La calibrazione si fà con i segnali dei muoni verticali (VEM)
- Eventi: 6 FADC traces, 12.8 μs (512 bins of 25 ns)
- Calibrazione con Carmen-Miranda: 8 ns di risoluzione
- Condizioni di Trigger:
 - Trigger di Primo Livello (local station, 100 Hz):
 - single threshold (1.75 VEM in 3 PMTs in 1 bin coincidence)
 - Time over threshold (1us over 0.2 VEM in a 3us window)



- Signal above 3.2 VEM
- All TOT triggers
- Trigger di terzo livello (CDAS, 0.2/s on full array):
 - T2 coincidence of 3, 4 or more neighbouring stations





Electronica dei moduli del SD



- Potenza dissipata: inferiore a 10 W (panelli solari)
- Condizioni ambientali: 3 PMTs XP 1805 con base saldata a prova di umidità usando silicona trasparente GE.
- Controllo individuale della HV per i singoli PMTs, mediante modulo HV ETL 9353.
- Unità principale: "Unified Board" con intelligenza locale (PPC), nella quale FEB, GPS, time tagging ASIC, e LED flasher control sono collegate.
- 10 bit 40 MHZ ADC's e amplificazione x 32 nei dinodi per raggiungere 15 bit DR.
- Trigger T1 flessibile con firmware caricato nel ACEX PLD's della Altera.
- Risoluzione GPS: 8 ns
- Eventi di interesse possono essere selezionati come T3 triggers.
- La garanzia di qualita' (QA) e' essenziale tenuto conto i 20 anni di durata dell'esperimento.
- L'unità completa e' protetta in un contenitore metallico robusto.









Sito Sud:

Malargue, Mendoza Argentina Lat. 35°S Long. 69°W

Il Progetto Auger comprende anche un secondo sito negli USA.

Northern Site:

Utah, USA (o Colorado) Lat. 39°N Long. 113°W



Caracteristiche del Sito Sud



- Pianure con alcune elevazioni nella periferia
- Latitudine: 35° South
- 1350 m.a.s.l. (880 g/cm²)
- Buona infrastruttura a Malargüe e a San Rafael
- Scarsa polluzione luminosa
- Atmosfera chiara



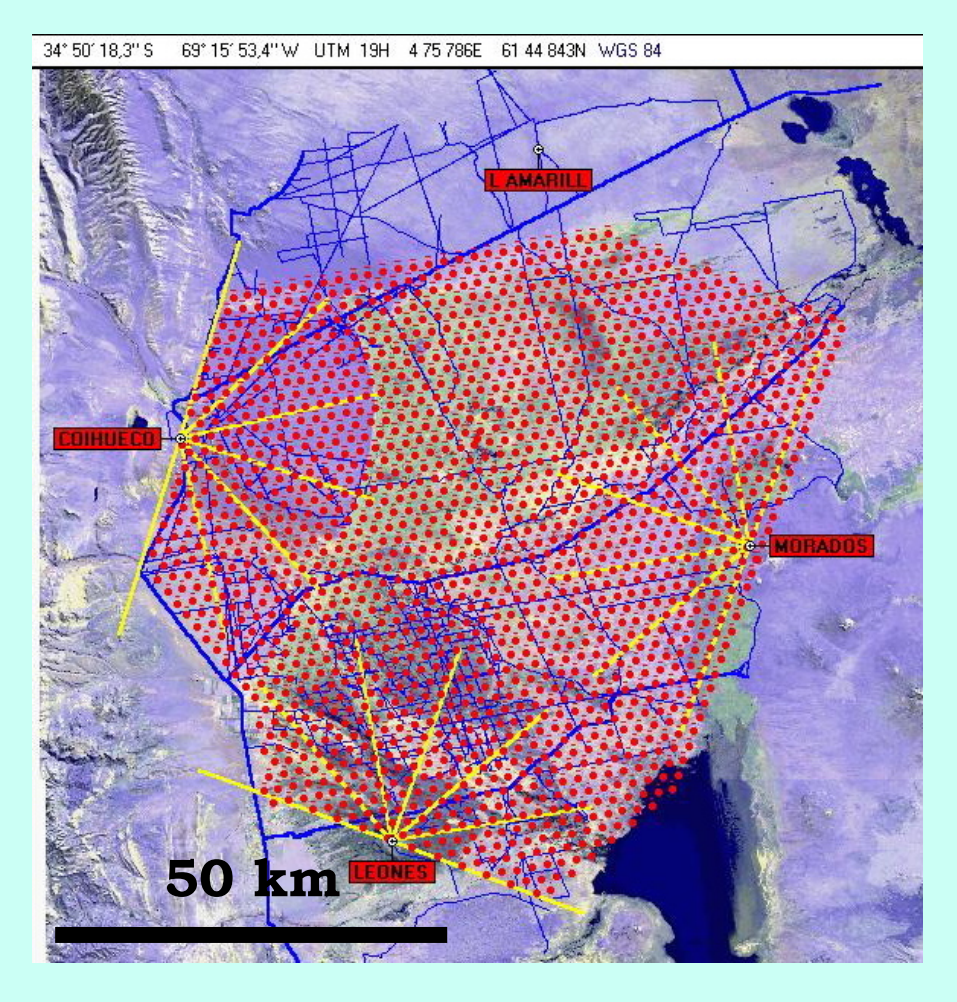




L' Osservatorio Sud



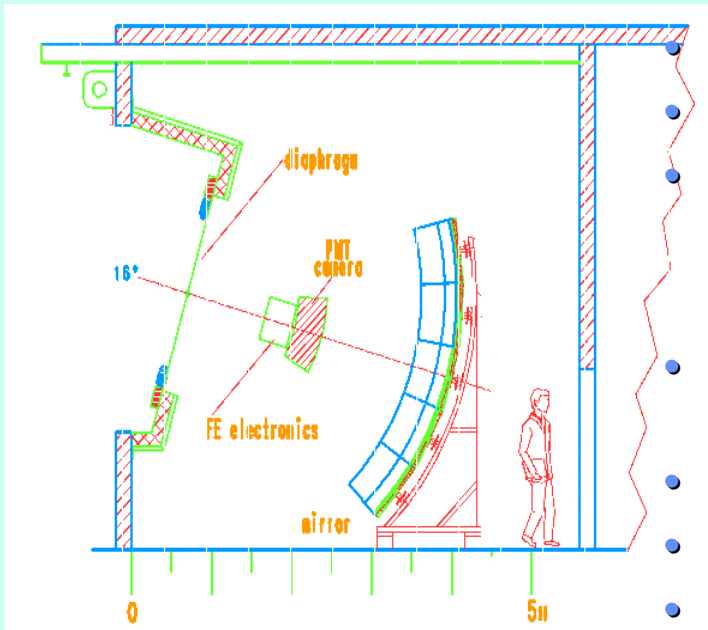
- $\sim 3000 \, \text{km}^2$
- 1600 moduli SD spaziati 1.5 km in una griglia triangulare
- 4 edifici per il FD nella periferia, con 6 telescopi c/u





Il Rivelatore di Fluorescenza (FD)





- 4 FD edifici con 6 telescopi c/u con copertura di 30° x 30°
- Ottica di Schmidt, diaframma di diam. D=2.2 m.

Corrector ring annullare di 25 cm

Filtro UV (Mug-6) nella apertura.

Specchi di 3,5m x 3,5m sferici e segmentati (R_c=3.4m):

- Specchi di Al con copertura di AlMgSi 0.5
- Vetri, coperti con Al anodizzato

Camera di 20 x 22 PMTs (Photonis, XP3062), 40 mm Ø, 1.5° di apertura per pixel.

Diametro dello spot: 0.5°

10 MHz ADC sampling

Trigger (secondo livello): identificazioni di patterns.

Terzo livello di trigger: track lunghezza traccia e compatibilità spazio-temporale (~ 5/ora) - inviati a CDAS.



Edificio del FD a Los Leones





1300 1300 co. 7200

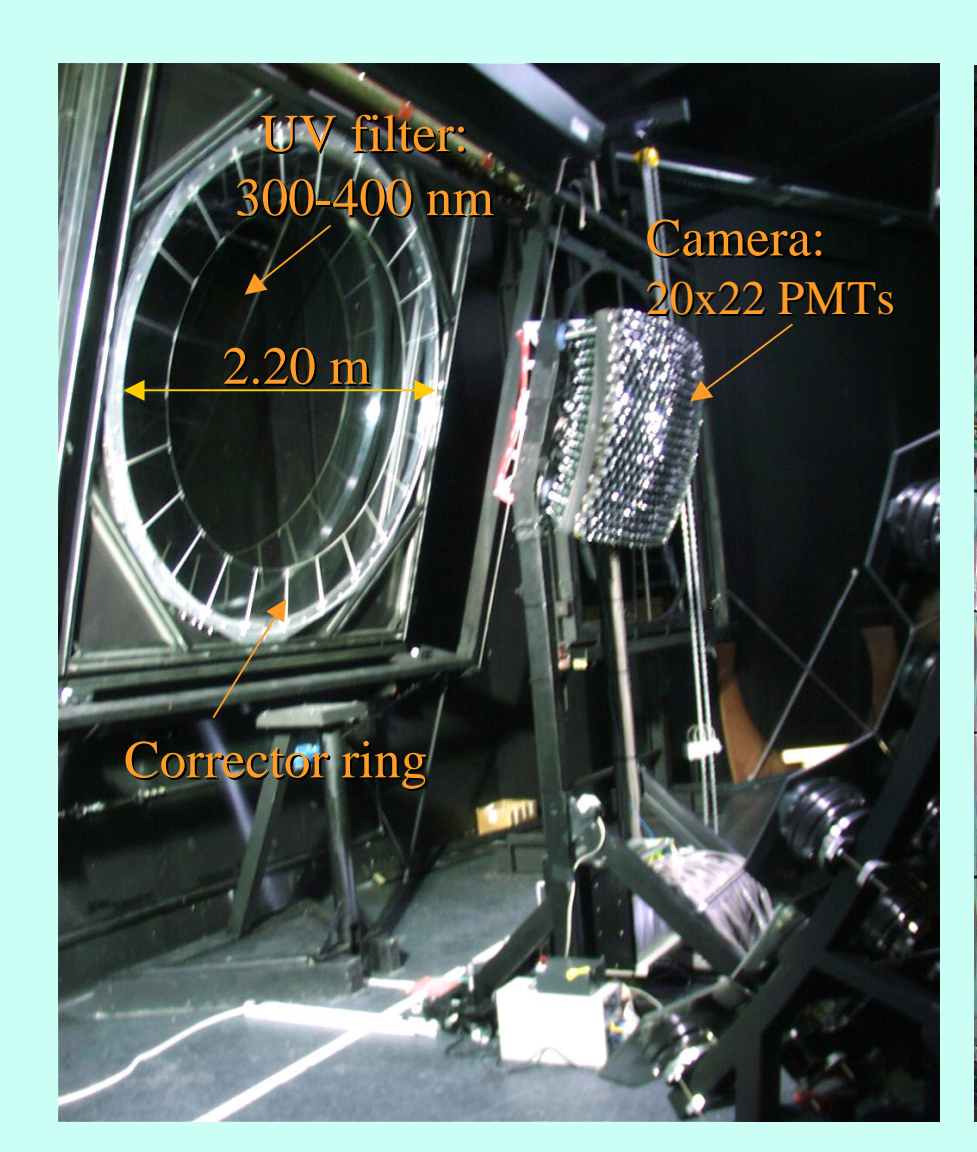
Vista dalla torre di comunicaz





Uno dei telescopi del Rivelatore di Fluorescenza









Spin-off di Auger : sistema innovativo per la trasmissione lineare di segnali analogici mediante lo Specchio di Corrente ad Acoppiamento Ottico (OCCM)

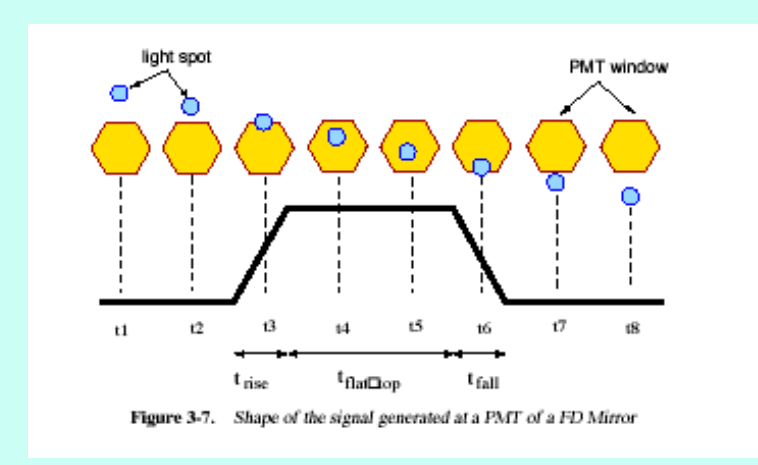


- Introduzione.
- Amplificatori DC isolati Galvanicamente.
- L'OCCM e le sue applicazioni con dei PMTs e rivelatori a ionizzazione.
- Comportamento a temperature criogeniche.
- Status di un link a fibra ottica con architettura OCCM.



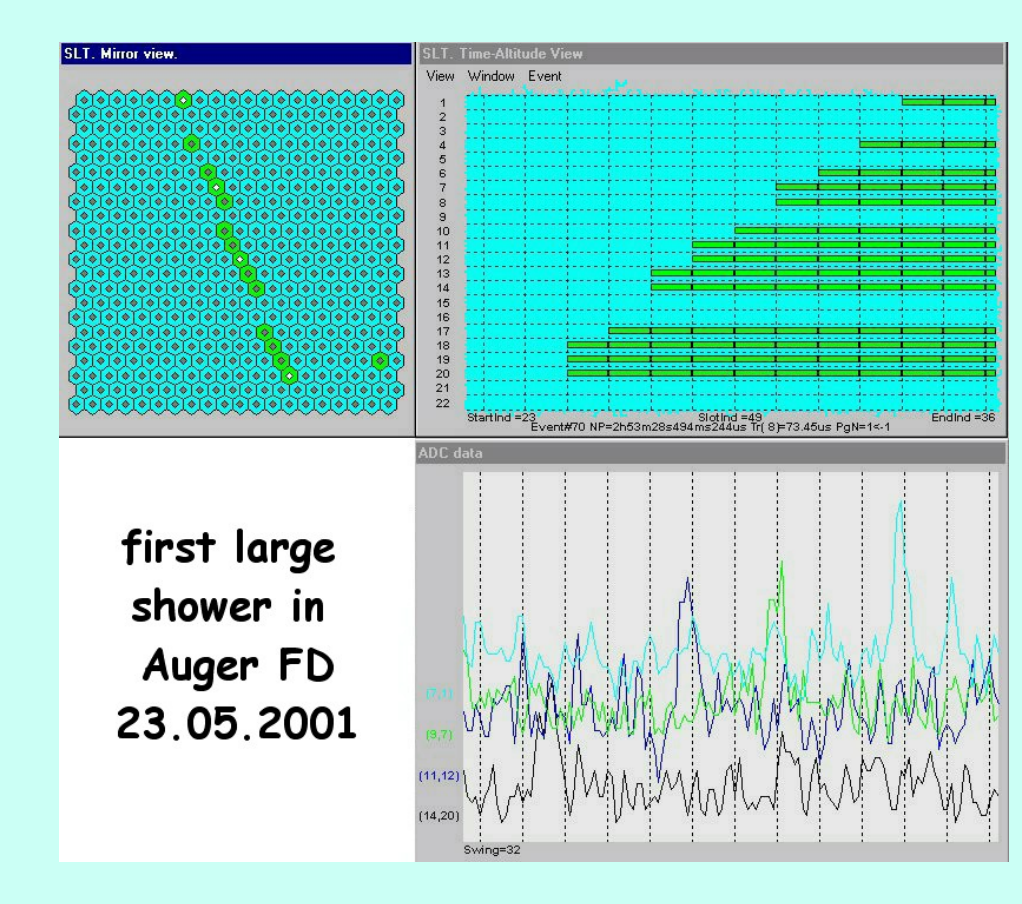
Dotando i telescopi puntati al cielo, della possibilità di identificare segnali di stelle mediante PMTs polarizzati con catodo a massa





Un tipico segnale di uno sciame ha una durata di ~ 0.3 -10 µs

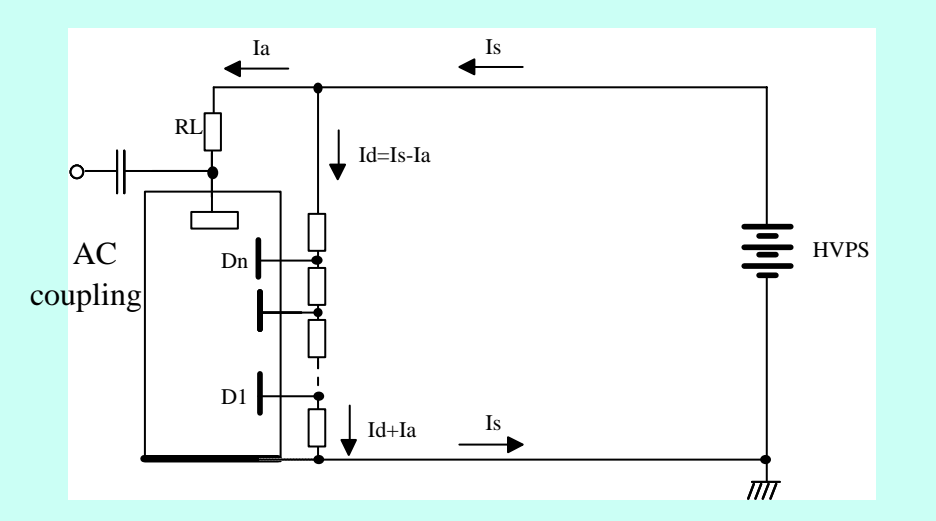
Durata di un segnale di una stella: dai 5 ai 10 min.

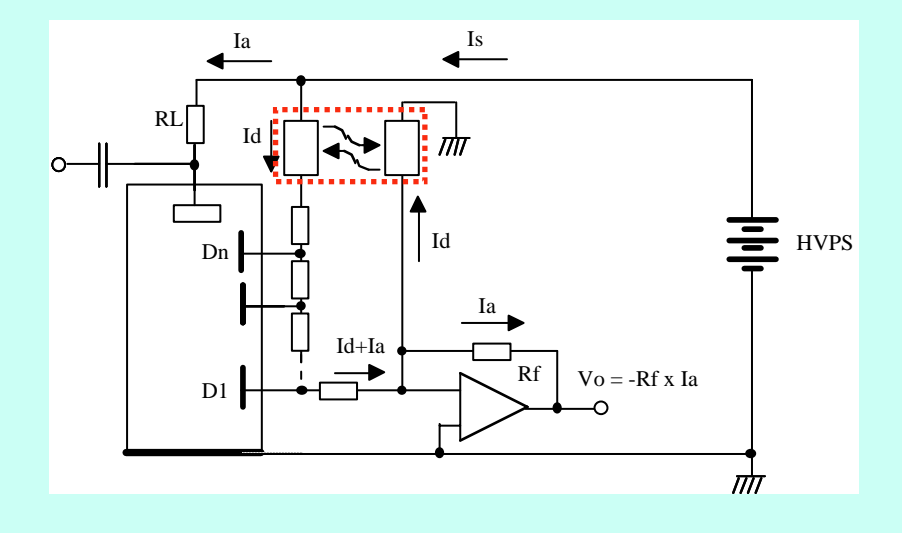




Il bilancio delle correnti in un PMT polarizzato con HV positiva







Specchiare Inacettabile a potenziale di massa permetterebbe di produrre una tensione proporzionale alla componente lentamente variabile della corrente di anodo (tipicamente segnali di stelle o pianeti)

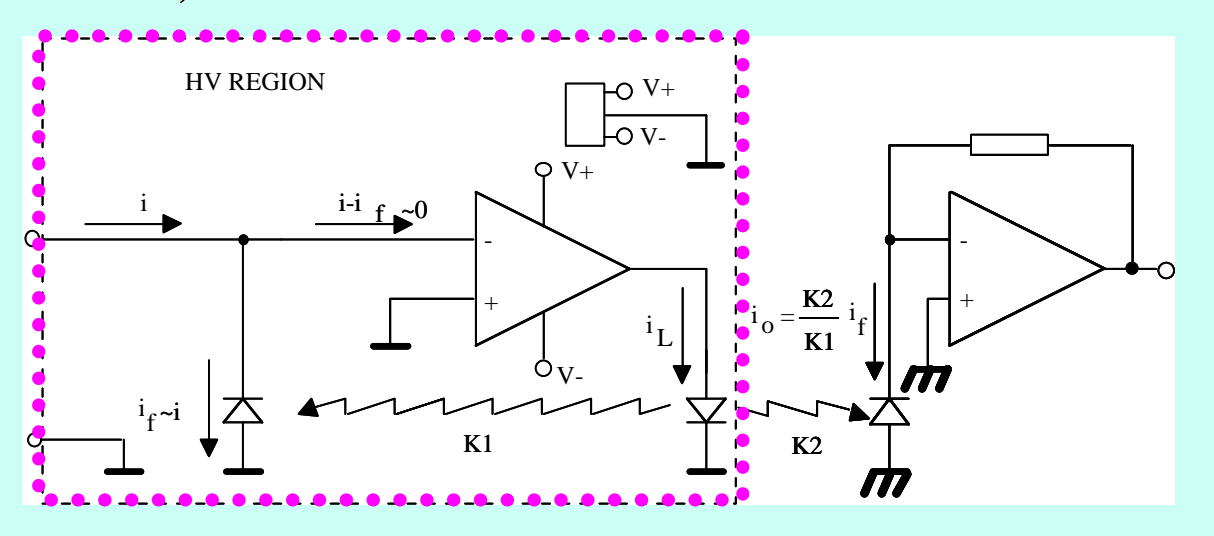


Come specchiare la corrente del partitore?



Stato dell'arte degli amplificatori isolati Galvanicamente:

• 1973, Schema di J. Sunderland



- LV richiesto al potenziale HV.
- Negli ultimi 30 anni sono state fornite numerose idee per portare LV alla regione HV.

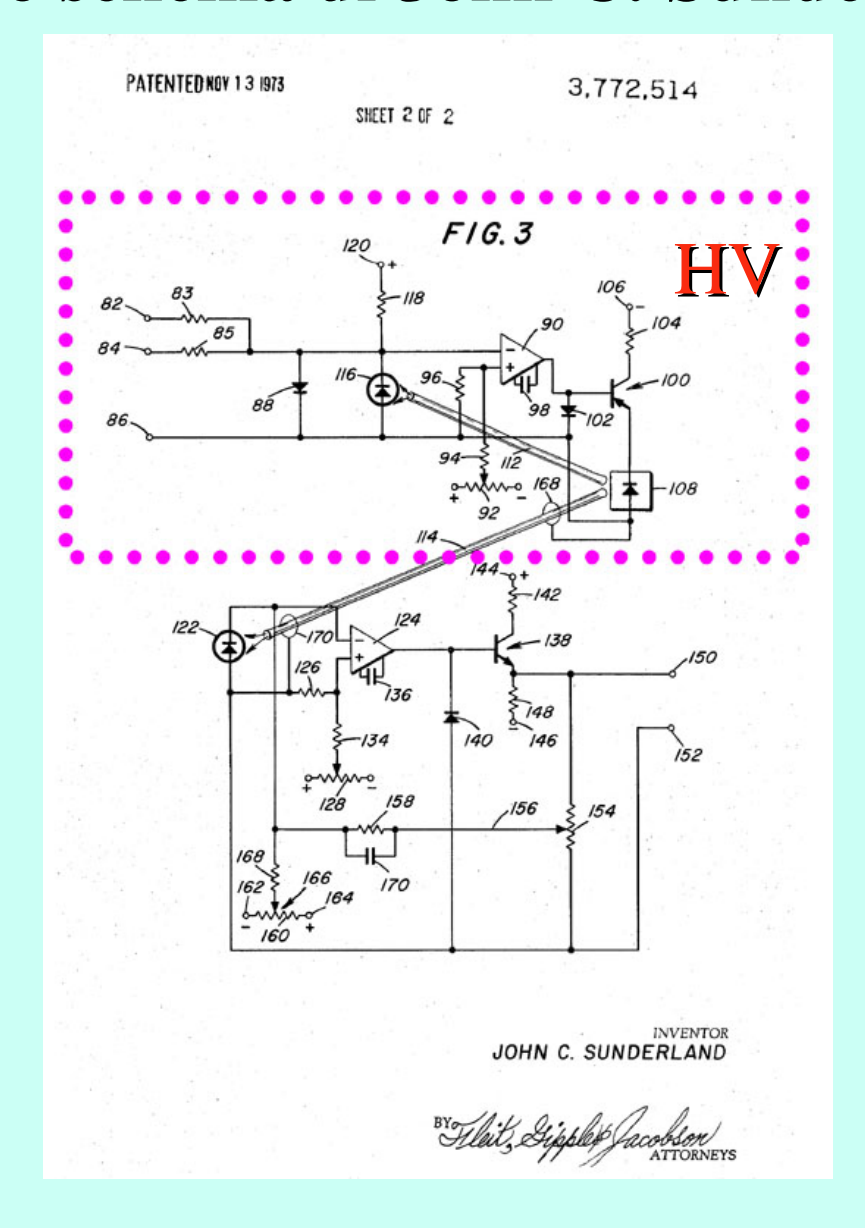
- 1995, Hodson (*Texas Instrument*):
- Introduzione del "Linear Optocoupler"
- Comunque, LV nella regione isolata fu sempre richiesta.
- Inacettabile per Auger! (24 x 440 PMTs)

QuickTime[™] and a TIFF (Group 4 Fax) decompressor are needed to see this picture.



Lo schema di John C. Sunderland





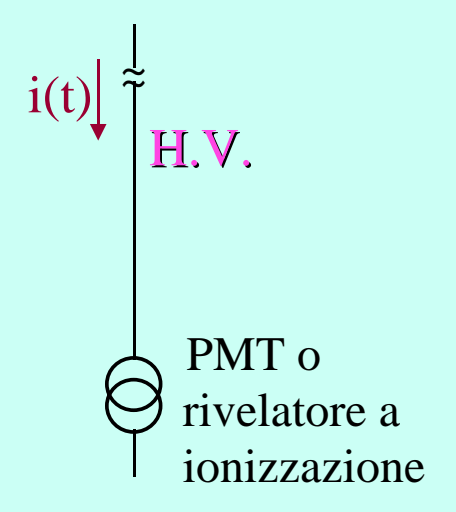


Lo Specchio di Corrente ad Accoppiamento Ottico (OCCM)



1st step

(1) Rivelatore polarizzato



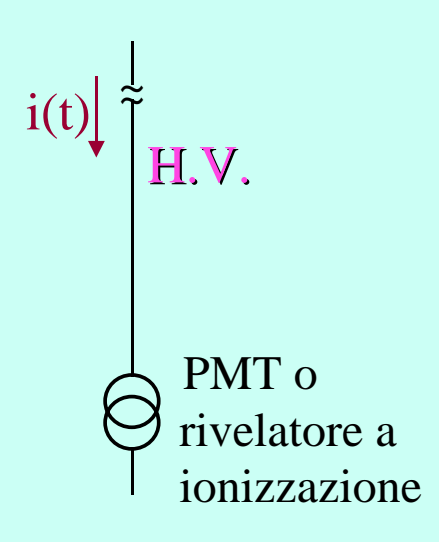


OCCM

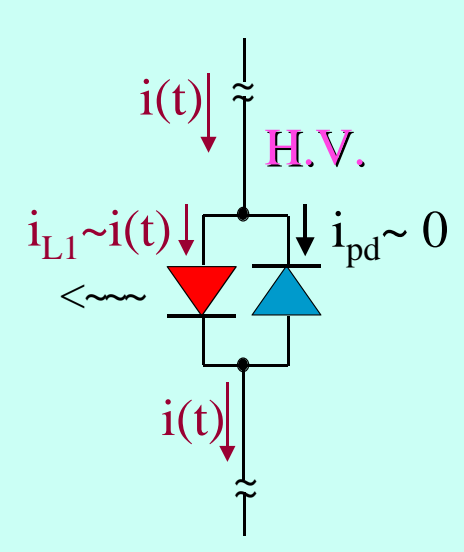


2nd step

(1) Rivelatore Polarizzato



(2) Interposizione di un LED e un fotodiodo



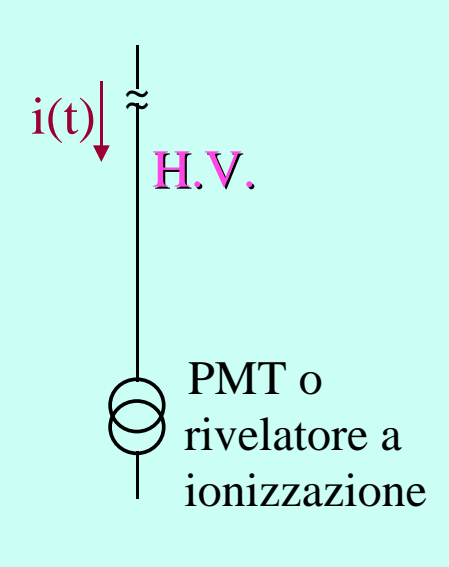


OCCM

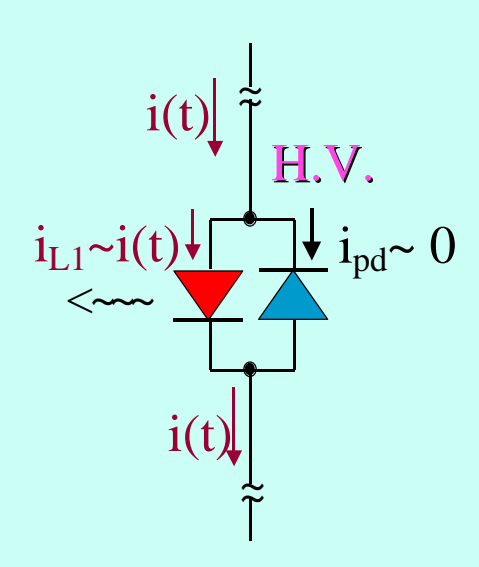


3rd step

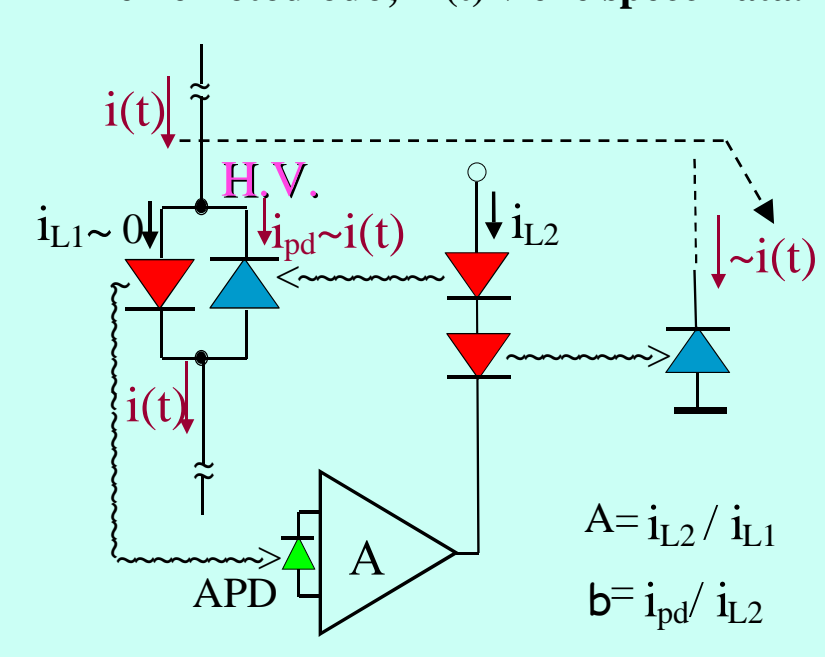
(1) Rivelatore Polarizzato



(2) Interposizione di un LED e un fotodiodo



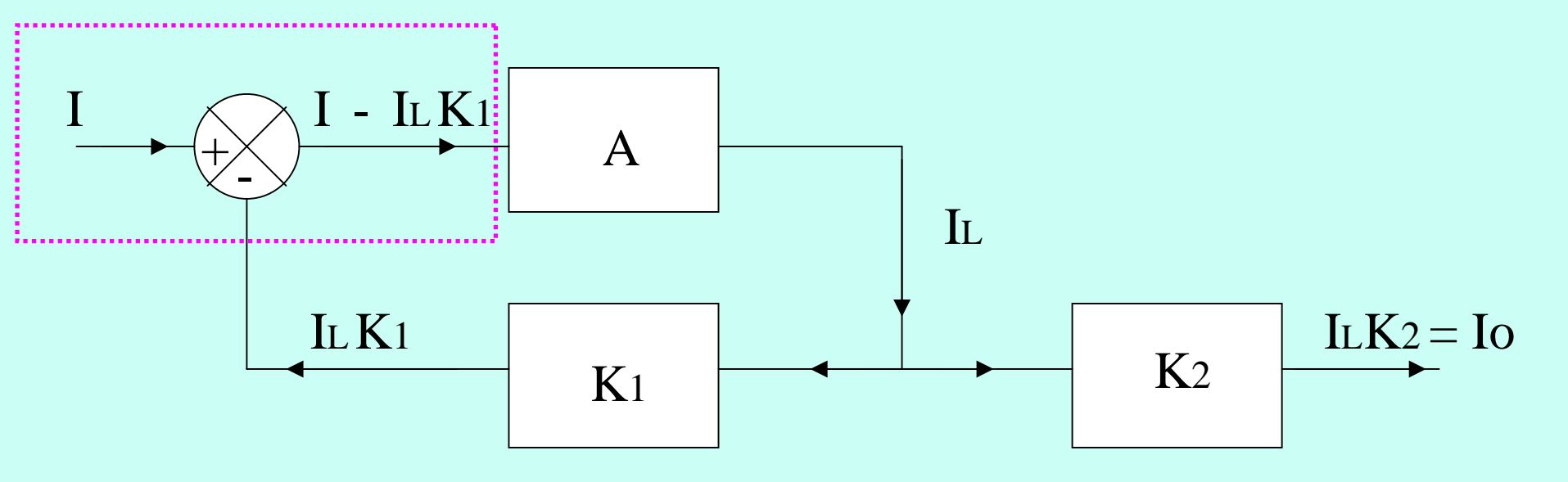
(3) La retroazione scambia le correnti nel LED e nel fotodiodo; i(t) viene specchiata.





L'OCCM: un sistema retroazionato.





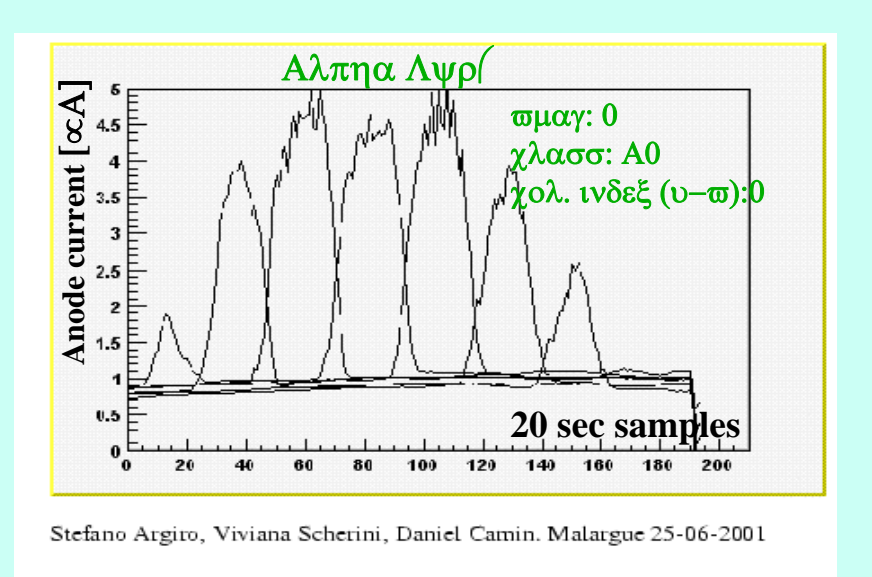
Io = I·
$$\frac{K_2}{K_1}$$
 · $\frac{1}{1 + \frac{1}{AK_1}}$ = I·K'3



Risultati rilevanti ottenuti con l'OCCM:

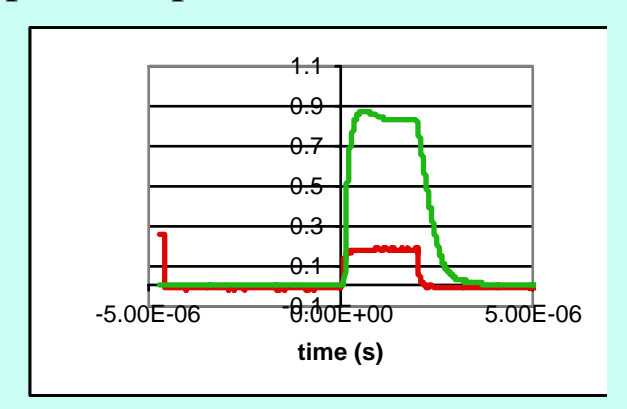


a) Le prime traccie di stelle

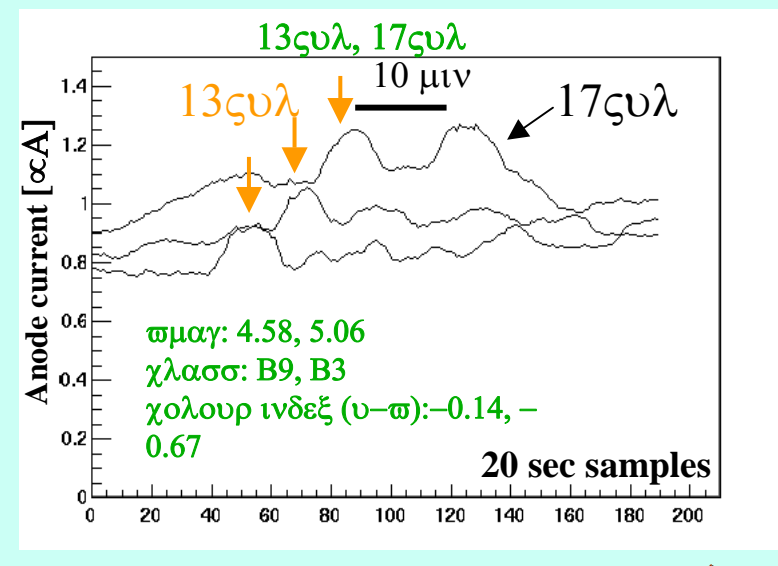


Risoluzione riferita al fotocatodo: inferiore a 1 pA.

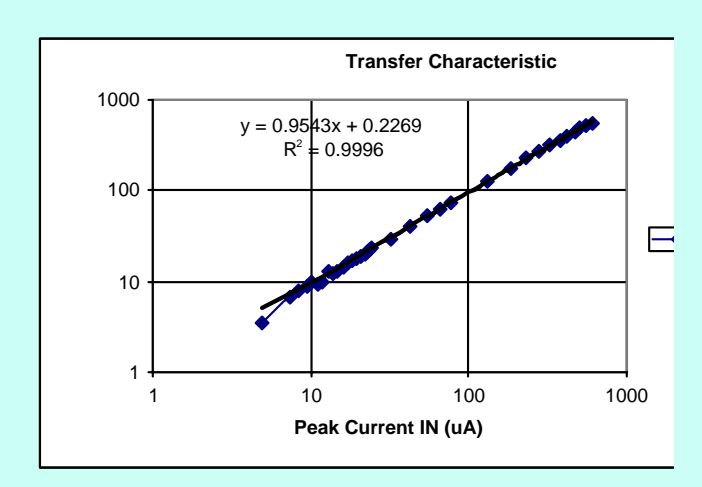
b) i primi impulsi inviati via fibra ottica:



Pulse width:2ms $T_{rise} \sim 180 \text{ ns};$ BW $\sim 1.5\text{-}1.9 \text{ MHz}$



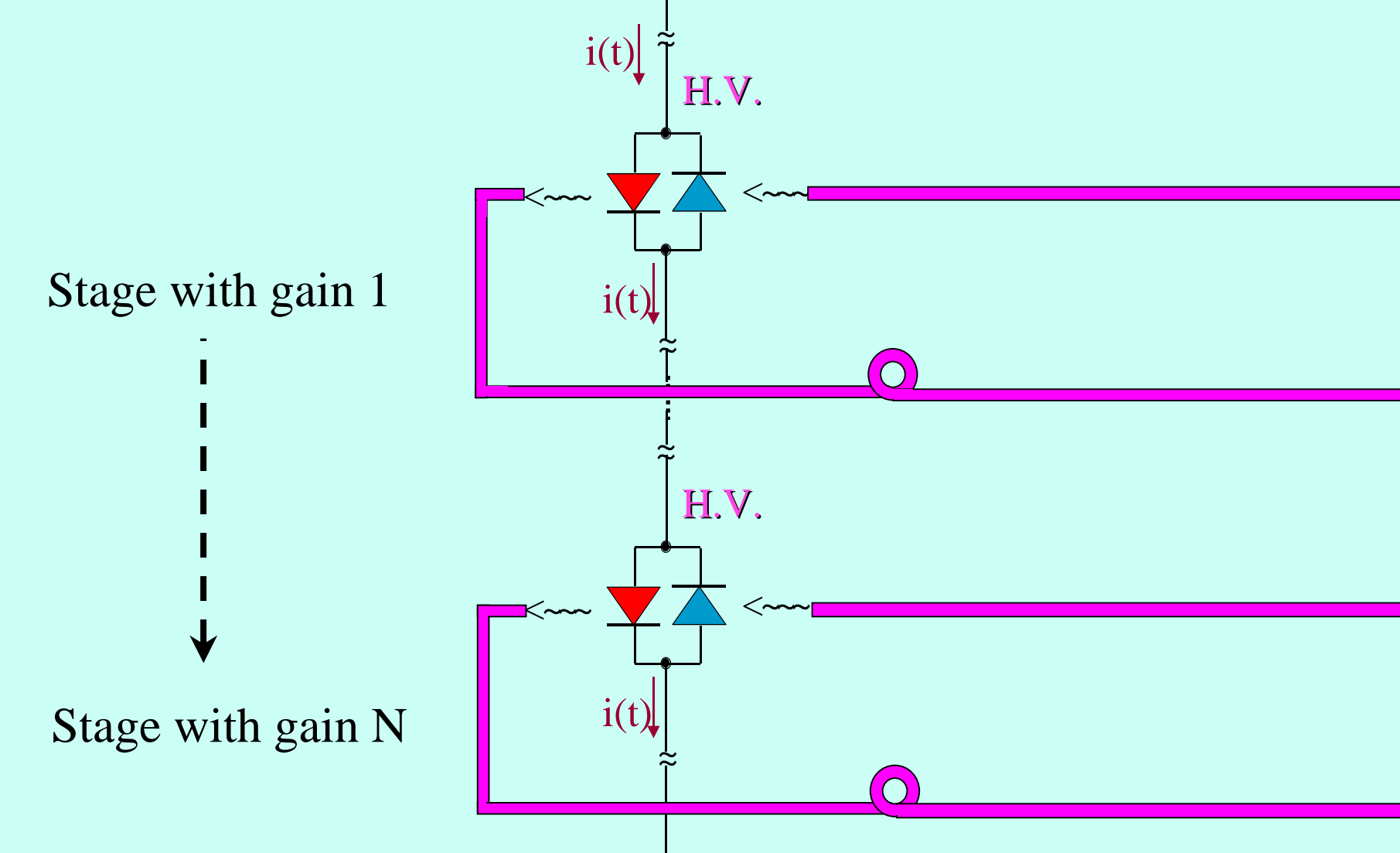
Guadagno del PMT ~ 4.1 x 10 4





Incrementando il range dinamico

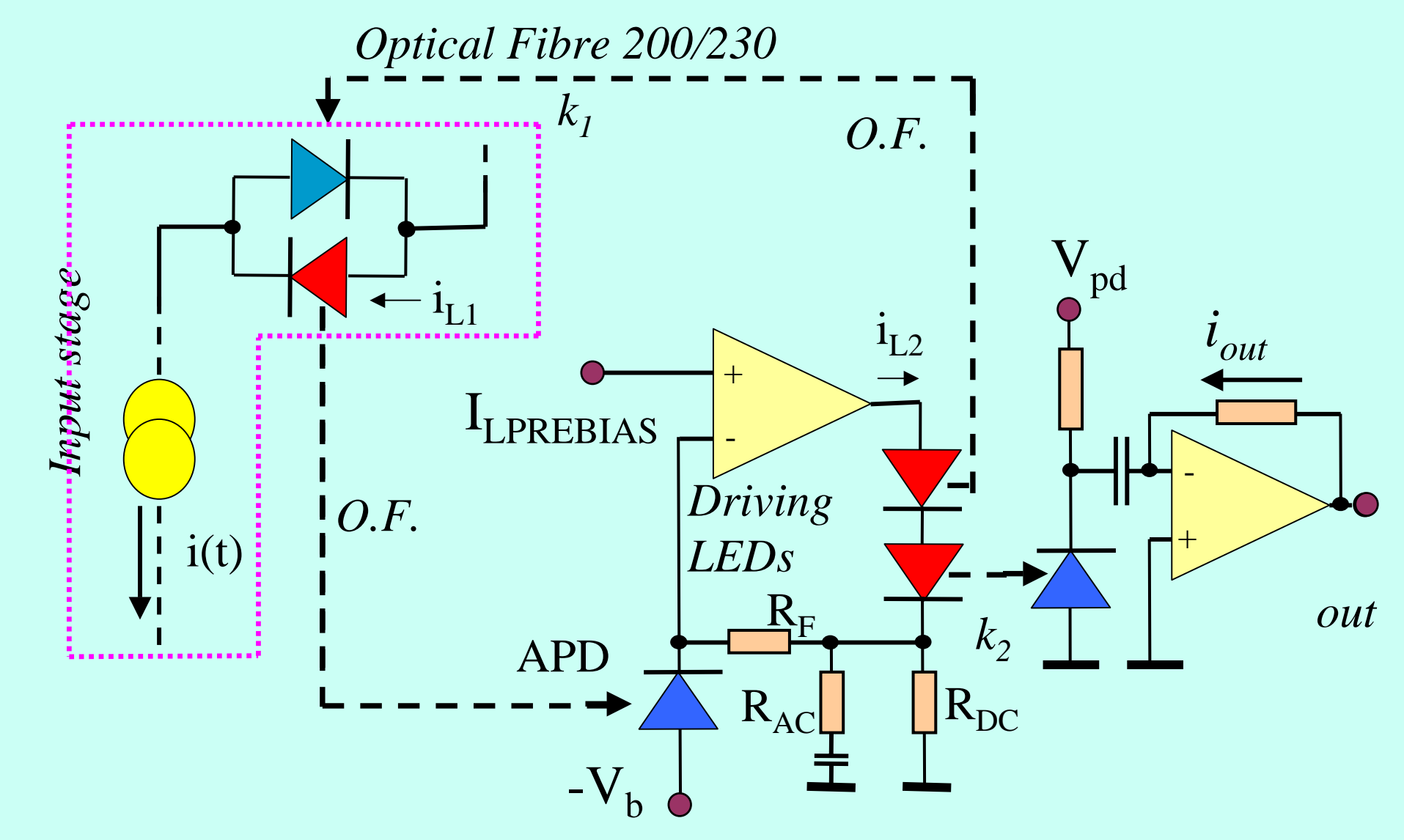






Il OCCM usato nella trasmissione di segnali analogici via fibra ottica



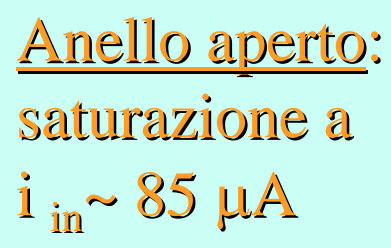


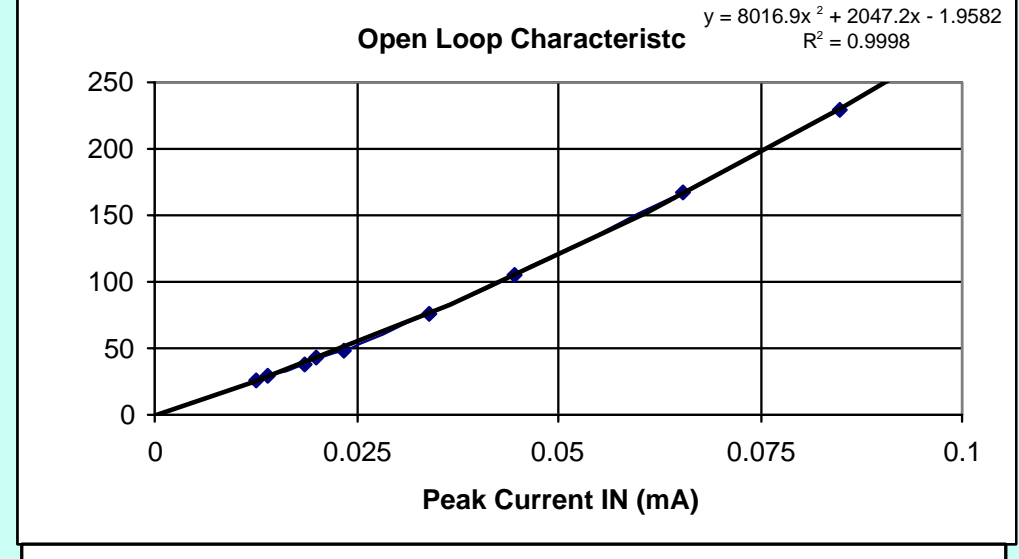


Regime impulsivo: risultati sperimentali



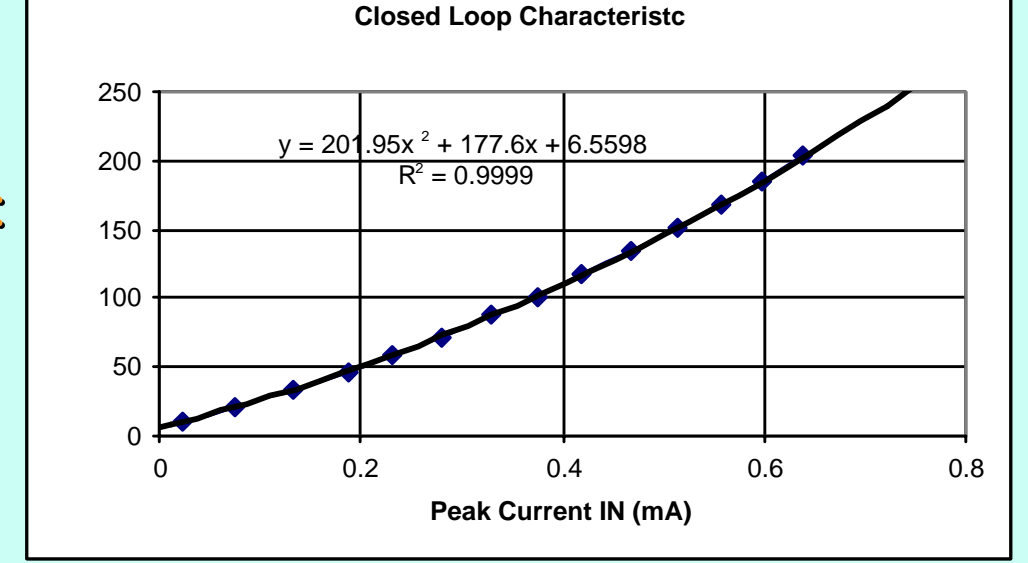
Corrente nei driving-LEDs vs. corrente d'ingresso.





Guadagno per piccolo segnale: A = 2047

Anello chiuso: saturazione a i _{in} ~ 750 μA



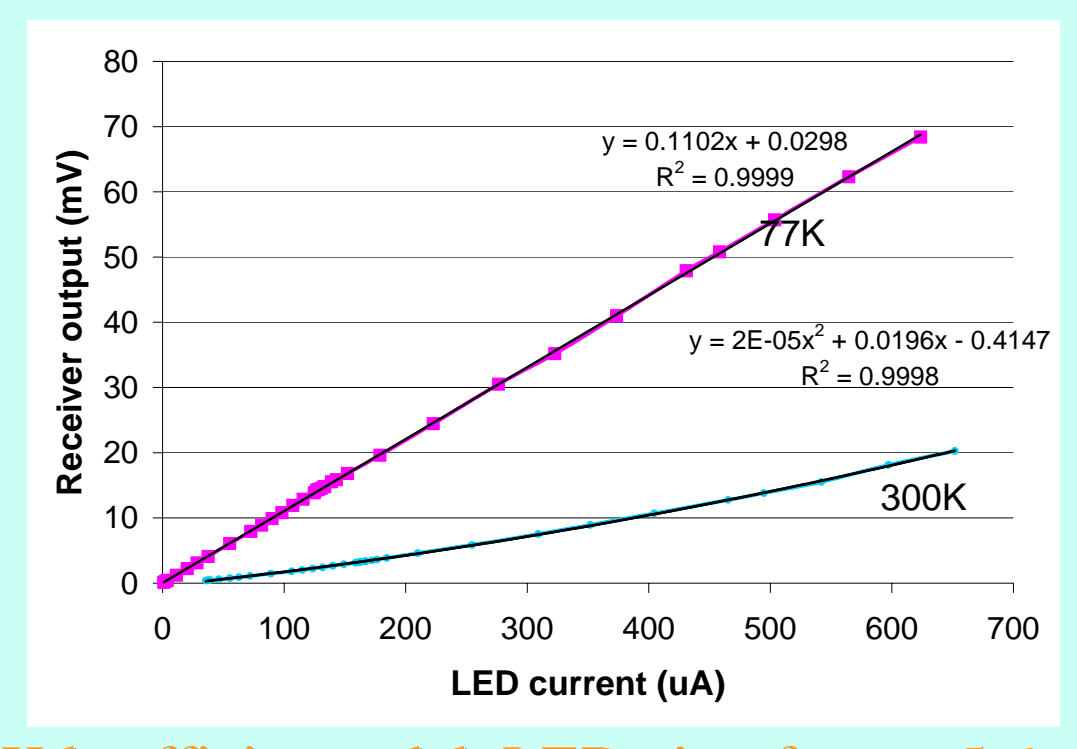
Fattore di retroazione: $\beta = (178)^{-1} = 5.6 \ 10^{-3}$ Guadgano d'anello: $A\beta = 11.5$



Comportamento di un LED AlGaAs a 300K e 77 K



A 77K il termine lineare migliora di un fattore x 5.6



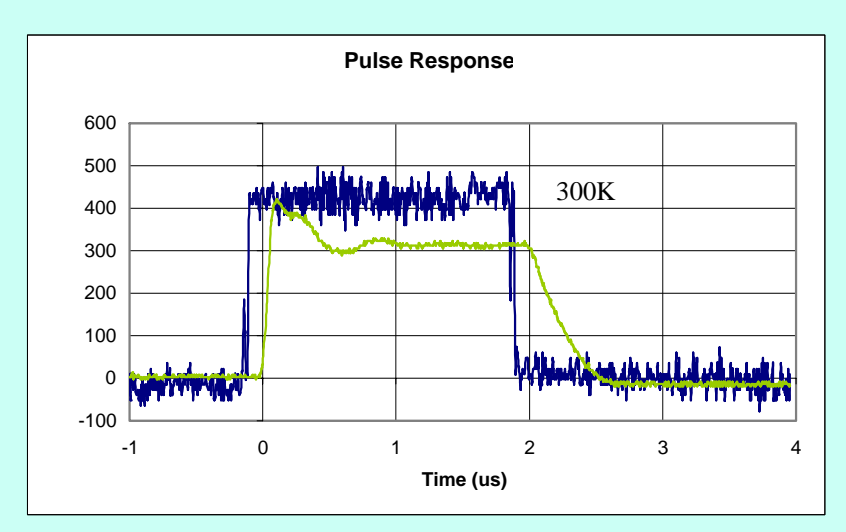
A 77 K la efficienza del LED e'un fattore 5.6 più alta anche a correnti molto piccole nel LED d'ingresso, come richiesto dall'architettura OCCM.

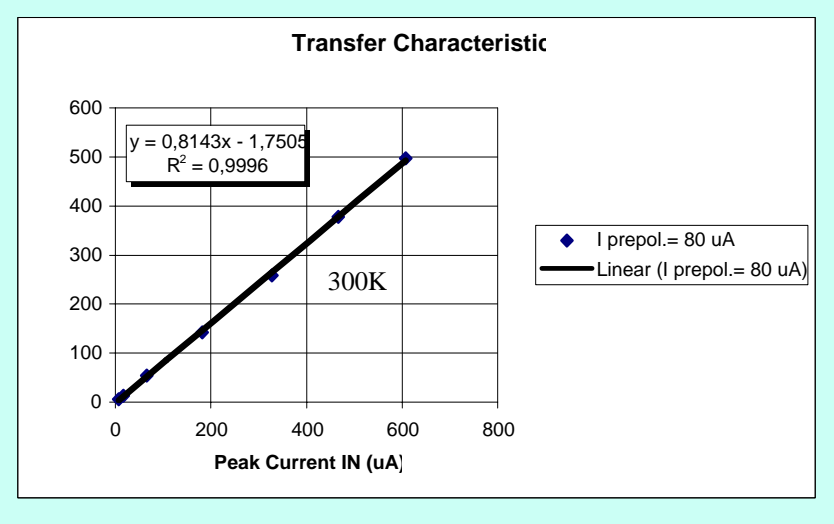
Light receiver: Agilent 2406 (pin photodiode followed by an amplifier)

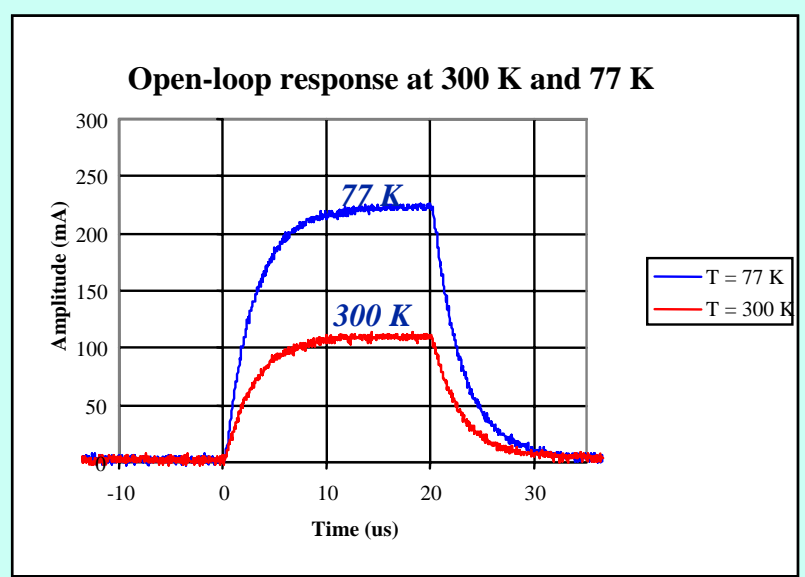


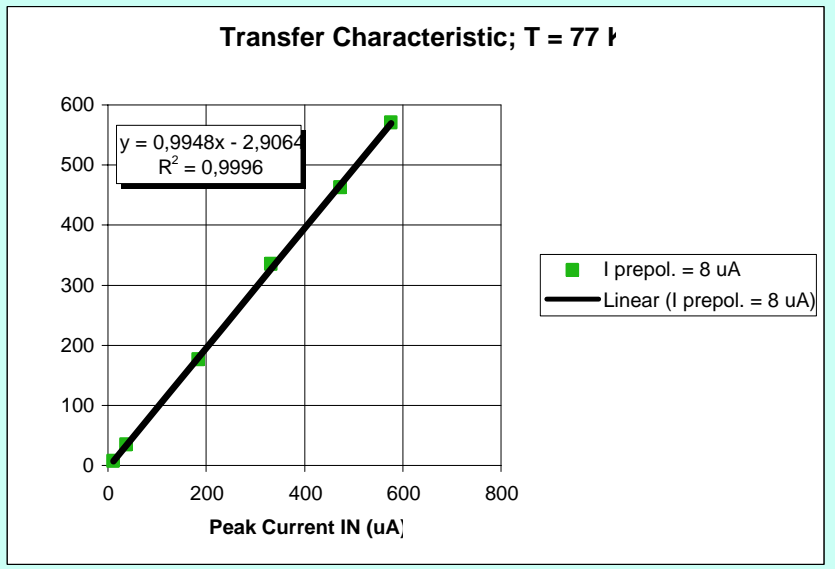
Regime impulsivo: caratteristiche complessive I/O













Brevetti OCCM



US006316930R1

(12) United States Patent

(10) Patent No.: US 6,316,930 B1 (45) Date of Patent: Nov. 13, 2001

4) DIRECT CURRENT METER WITH PASSIVE INPUT AND GALVANIC INSULATION, PARTICULARLY FOR HIGH VOLTAGE

(75) Inventor: Daniel V. Camin, Milan (IT)

(73) Assignce: Istito Nazionale di Fisica Nucleare, Frascati (IT)

(*) Notice: Subject to any disclaimer, the term of this patent is extended or adjusted under 35 U.S.C. 154(b) by 0 days.

(21) Appl. No.: 09/467,895

(22) Filed: Dec. 21, 1999

(56)

(30) Foreign Application Priority Data

Dec. 21, 1998 (IT) MJ98A2754
(51) Int. CL⁷ G01R 31/00
(52) U.S. Cl. 324/97; 324/95
(58) Field of Search 324/97, 96, 126, 324/12

References Cited

U.S. PATENT DOCUMENTS

 4,316,141 * 2/1982 Adolfsson et al. 324/96 5,107,202 * 4/1992 Renda 324/96 5,389,578 * 2/1995 Hodson et al. 437/209 5,654,559 * 8/1997 Speth et al. 257/82 6,166,816 * 1/22/000 Blake 324/96 X

OTHER PUBLICATIONS

Patent Abstracts of Japan, vol. 007, No. 051 (P-179), Feb. 26, 1983 & JP 57 199961 A (Mitsubishi Demki KK), Dec. 8, 1982.

* cited by examiner

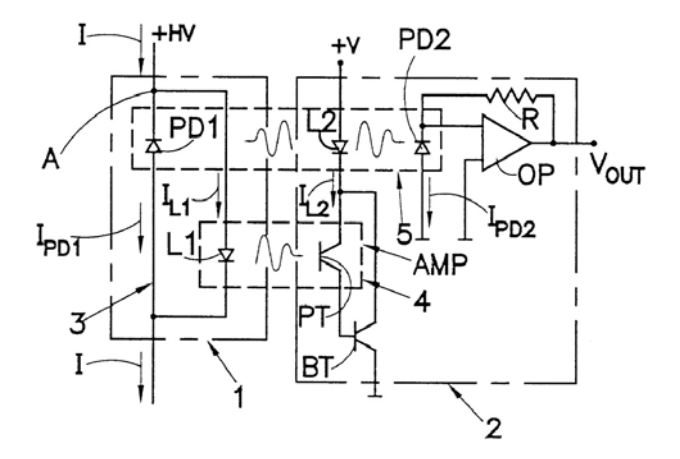
Primary Examiner—Safet Metjahic Assistant Examiner—T. R. Sundaram

(74) Attorney, Agent, or Firm-Nixon & Vanderhye, P.C.

(57) ABSTRACT

There is described a direct current meter with passive input and galvanic insulation, particularly for high voltage. The direct current meter is made up of a passive input part and of an active output part that is optically coupled to the passive part and electrically insulated from it. In this way the high voltage present at the input only affects the passive part of the meter, whereas the active part can be supplied with a low voltage and can be made capable to provide an output signal proportional to the current to be measured and substantially independent from the working temperature.

6 Claims, 1 Drawing Sheet





Europäisches Patentamt

European Patent Office Office européen des brevets

(11) EP 1 014 098 B1

EUROPEAN PATENT SPECIFICATION

(45) Date of publication and mention of the grant of the patent: 23.04.2003 Bulletin 2003/17 (51) Int CI.7: G01R 15/22

(21) Application number: 99204319.0

(22) Date of filing: 15.12.1999

(54) Direct current meter with passive input and galvanic insulation, particularly for high voltage Gleichstrommessgerät mit passivem Eingang und mit galvanischer Isolierung, insbesondere für

Gleichstrommessgerät mit passivem Eingang und mit galvanischer Isolierung, insbesondere für Hochspannung

Appareil de mesure de courant continu avec entrée passive et isolation galvanique, en particulier pour haute tension

(84) Designated Contracting States: AT BE CH CY DE DK ES FI FR GB GR IE IT LI LU MC NL PT SE

(30) Priority: 21.12.1998 IT MI982754

(43) Date of publication of application: 28.06.2000 Bulletin 2000/26

(73) Proprietor: ISTITUTO NAZIONALE DI FISICA NUCLEARE I-00044 Frascati (RM) (IT)

(72) Inventor: Camin, Daniel Victor 20141 Milano (IT) (74) Representative: Mittler, Enrico c/o Mittler & C. s.r.l., Viale Lombardia, 20 20131 Milano (IT)

(56) References cited: US-A- 3 772 514 US-A- 4 316 141

 PATENT ABSTRACTS OF JAPAN vol. 007, no. 051 (P-179), 26 February 1983 (1983-02-26) & JP 57 199961 A (MITSUBISHI DENKI KK), 8 December 1982 (1982-12-08)

014 098 B1

Note: Within nine months from the publication of the mention of the grant of the European patent, any person may give notice to the European Patent Office of opposition to the European patent granted. Notice of opposition shall be filed in a written reasoned statement. It shall not be deemed to have been filed until the opposition fee has been paid. (Art. 99(1) European Patent Convention).

Printed by Jouve, 75001 PARIS (FR)



Riassunto relativo allo spin-off OCCM



- L'architettura OCCM permette di specchiare linearmente, via mezzi ottici, un segnale DC, quasi-DC, o pulsato e veloce, che scorre *nell'ingresso passivo* dell' OCCM.
- No e' richiesto di fornire alcun potenziale di alimentazione alla regione isolata.
- Quando lo stadio d'ingresso viene raffreddato *a 77 K*, la performance dell'OCCM migliora nettamente: *il guadagno di anello aumenta un fattore due* e la *soglia per il segnale diminuisce*.

 Questa particolarità apre delle opportunità specialmente per i rivelatori criogenici.
- L'OCCM e' stato *installato e ha prodotto dei dati di stelle con gli 880 PMTs* dei due telescopi prototipali de Auger.
- Recentemente si e' verificata la trasmissione di segnali analogici via fibra ottica mediante l'OCCM in una banda di 5 MHz e con un range dinamico di 100:1. Un punto d'inizio ragionevole con molto spazio per ulteriori miglioramenti.
- Il range dinamico potrebbe aumentare collegando diversi stadi a guadagno diverso in serie con lo stadi d'ingresso. Questa possibilità e in fase di sutdio.
- Gli unici componenti sotto eventuali rischi di radiazione : il LED, il photodiodo e la fibra.



La Elettronica del FD (FDE)



- Progettata per mantenere il rumore totale non piu' del 10 % al di sopra del rumore originato dalla luce di fondo-cielo.
- 15 bit DR con 12 bit 10 MHz ADC's, ottenuto mediante il "canale virtuale"
- Analog Board con filtro antialiasing tipo Bessel.
- Trigger flessibile implementato con Altera's PLD's
- Timing basato su GPS.

Uno spin-off dello sviluppo della FDE:

- Sono state misurate delle stelle di debole intensità con i primi due telescopi equippaggiati con un sistema optoelectronico innovativo: il "Optically-Coupled Current Mirror".
- Questa innovazione fu brevettata negli Stati Uniti e nella CE.
- E' in corso l'ottimizzazione per la trasmissione di segnali veloci via fibra ottica.



Calibrazione FD e monitoraggio atmosferico



- Calibrazione end-to-end (drum calibration)
- Calibrazione relativa mediante fibre ottiche e Xe flasher
- Monitoraggio atmosferico:

Steerable Lidar: 355 nm YAG laser, 6ns pulses of 6nJ @ 10 Hz

- Misure di attenuazione orizzontale.
- Aerosol phase function
- Radiosonda in palloni per la determinazione del profilo atmosferico (P,T)
- Monitore di nuvole
- Controllo meteorologico



La fase prototipale di Auger: Engineering Array (EA)



Obiettivi:

- Verificare che tutti i sottosistemi si comportino come specificato.
- Verificare la possibilità di raccogliere e ricostruire degli eventi ibridi.
- La fase prototipale fu superata nel 2002.

I rivelatori:

- −32 moduli SD
- −2 FD telescopi nel cerro Los Leones.

Risultati:

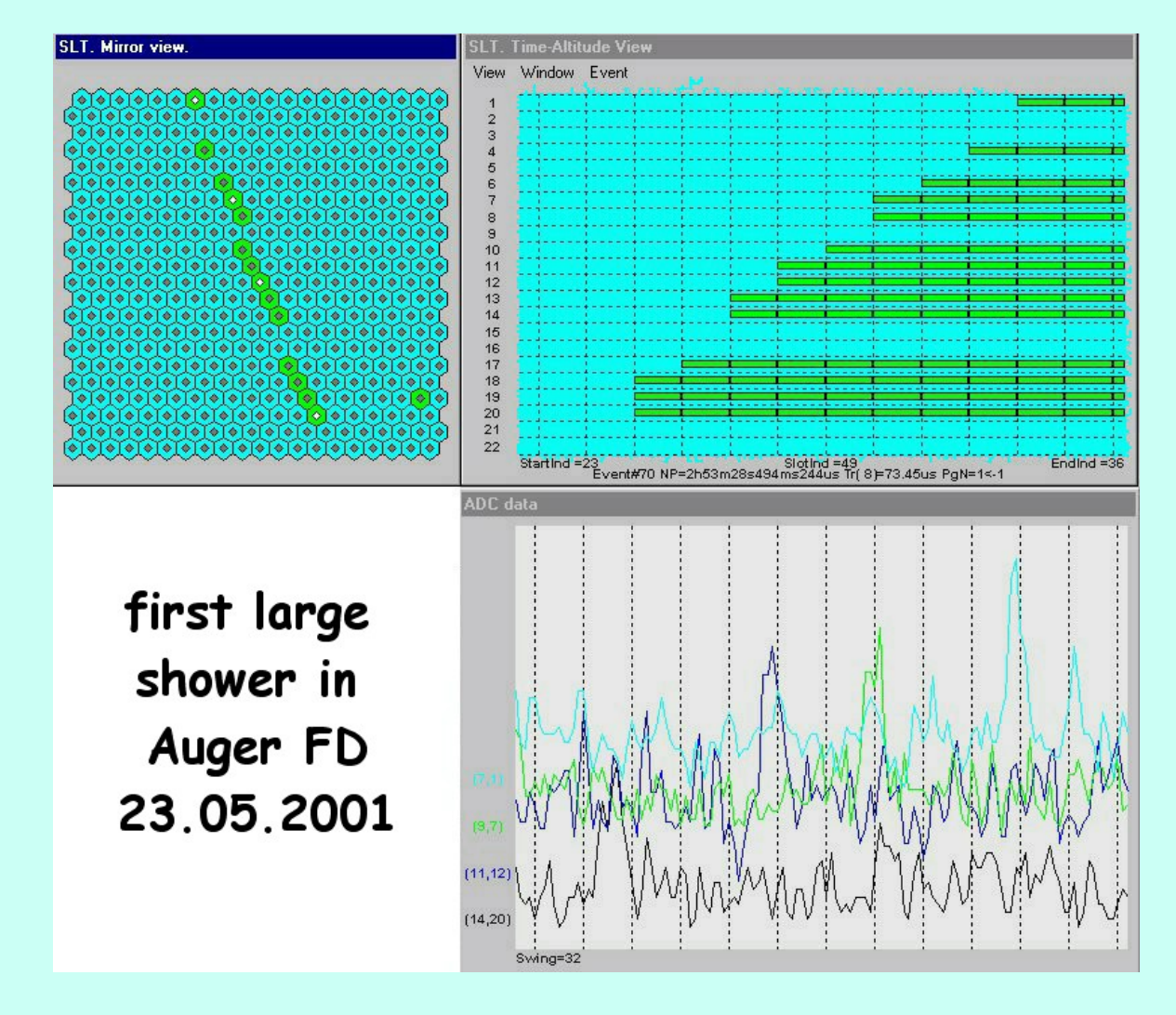
- Si è migliorato il design e la costruzione delle taniche (moduli, elettronica e cablaggio).
- Si sono sviluppati delle procedure per facilitare l'installazione delle taniche sul sito.
- Due taniche distanziate alcuni metri fra di loro (Carmen e Miranda).
- Il FD ha funzionato con l'11 % di duty-cycle, raccogliendo oltre 1000 eventi.
- Si e' realizzata una sincronizzazione dei impulsi laser.
- -Sono stati raccolti circa 80 eventi ibridi fra il 2001 e 2002.

Al momento procede regolarmente la costruzione ed installazione sul sito dei moduli SD e dei telescopi del FD





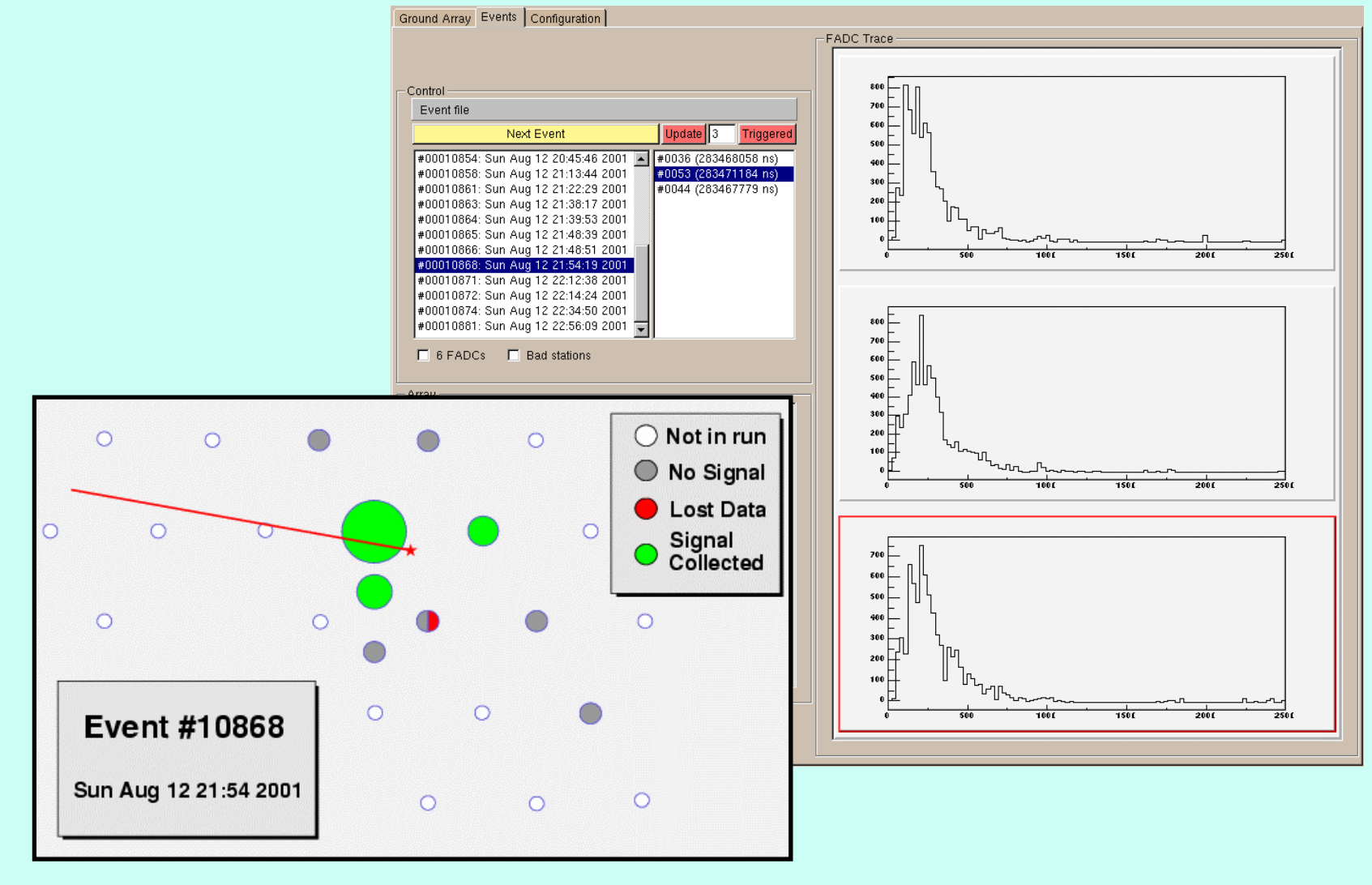






Evento SD con 4 taniche. (12 Agosto 2001)



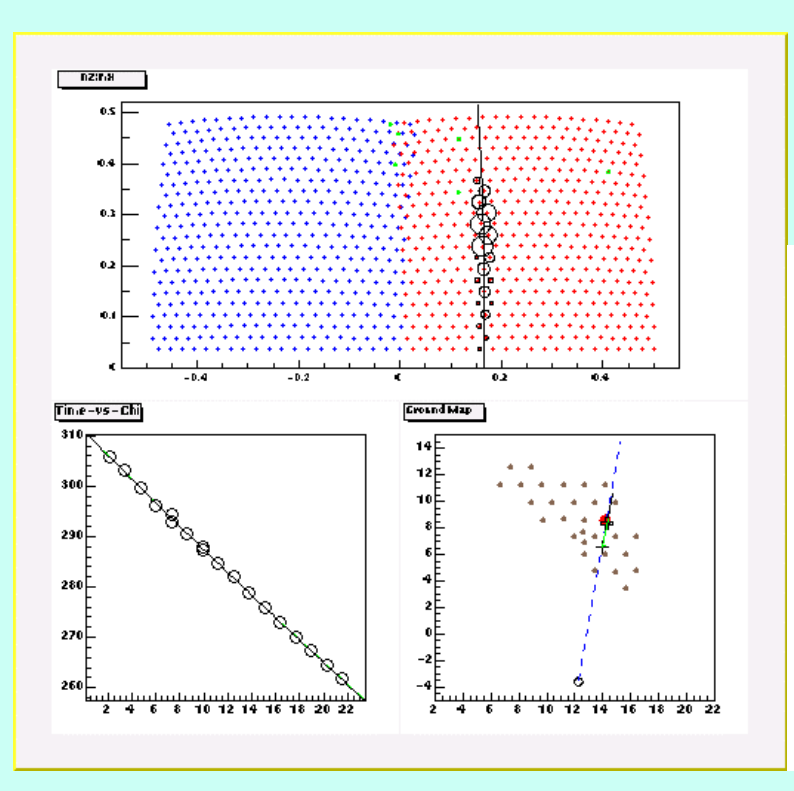


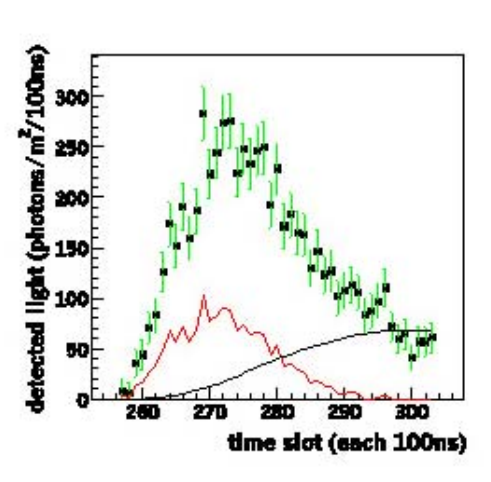


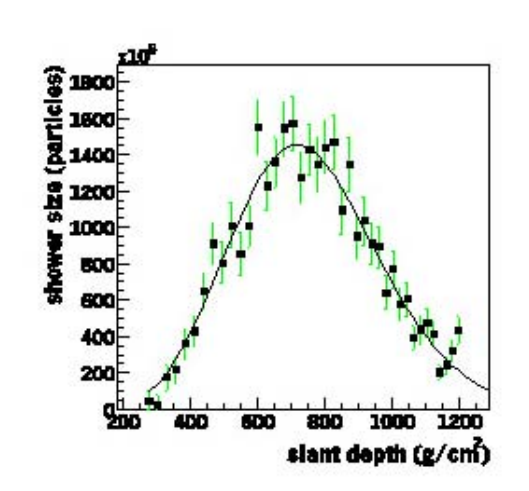
Eventi ibridi



Evento registrato nel Gennaio 2002



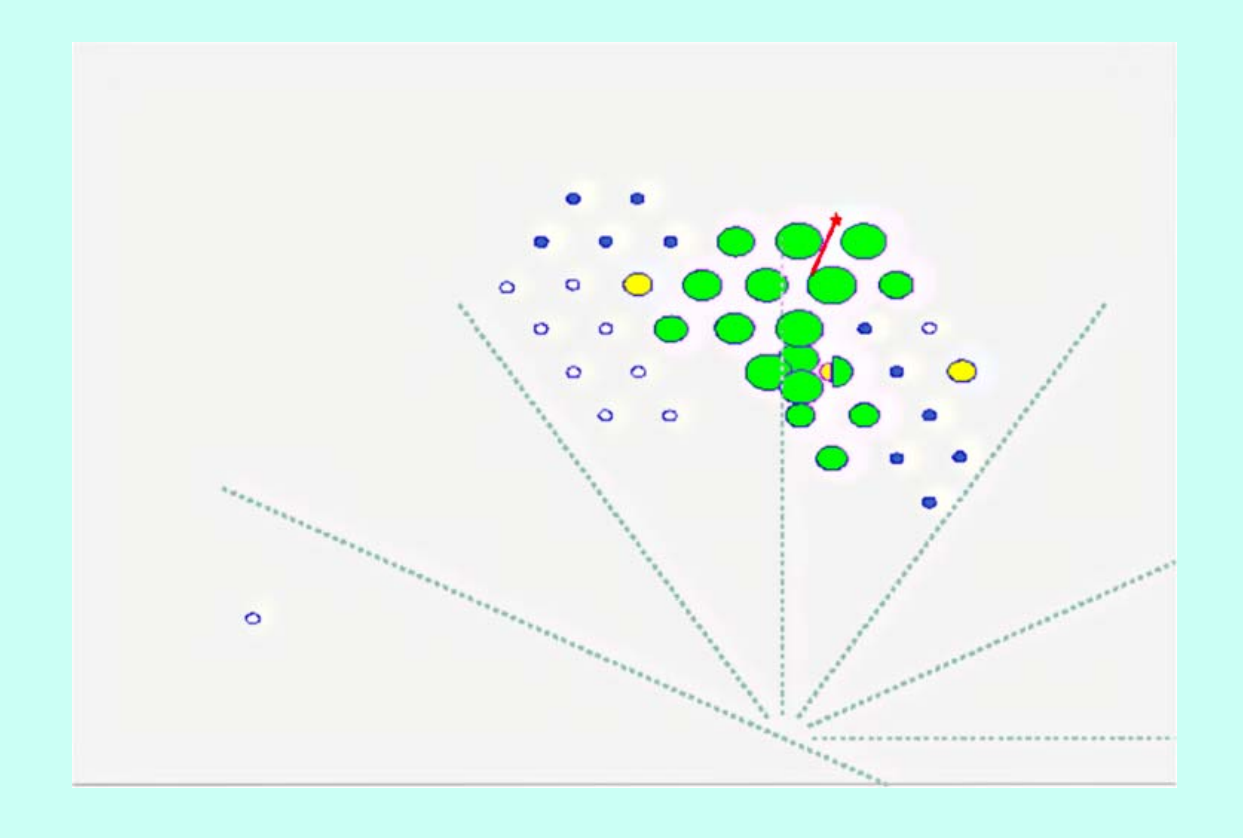












(PRELIMINARY)

 \square 82°, Radius of curvature \square 100 km, Energia probabile ~ 5 x 10¹⁹ eV



La stazione centrale di acquisizione dati (CDAS)







L'edificio di assemblaggio







Delle taniche SD in attesa di installazione della elettronica e successiva dislocazione sul sito



Status del Progetto Auger a Novembre 2004



- I componenti dei rivelatori sono in fase di completamento.
- 500 dei 1600 moduli SD, sono stati installati sul sito (31%).
- 6 telescopi installati in Cohiueco e 6 in Los Leones (50 %).
- Il terzo edificio del FD e' stato completato a Morados.
- L'Osservatorio Sud verrà completato entro 2006.
- Inizio di Auger Nord previsto per 2006.
- La presa dati FD e SD continua con regolarita'.

